

УДК 621.865.8

**О.А. Степін, д.т.н., проф.
С.В. Лапковський, к.т.н., доц.
М.О. Степіна, студ.**

Національний технічний університет України "КПІ"

ВИЗНАЧЕННЯ СКЛАДУ ОРІЄНТУЮЧИХ РУХІВ ДЕТАЛЕЙ

Наведено спосіб визначення складу орієнтуючих рухів і методика опису різних положень орієнтованих деталей.

Визначення складу орієнтуючих рухів (СОР), необхідних для переведення деталі з його початкового орієнтованого положення (ПОП) у кінцеве орієнтоване положення (КОП), є одним з найважливіших завдань при проектуванні роботизованих технологічних процесів [1, 3, 4].

У процесі орієнтування стійким відмінним положенням деталі є таке, при якому проекції деталі на орієнтуючі поверхні не збігаються з проекціями для інших орієнтованих положень [1, 3, 6].

Методи визначення складу орієнтуючих рухів, які вже існують і які ґрунтуються на таблицному [1, 3], цифровому [7] і кінцево-автоматному [5] поданні процесу орієнтування, не є універсальними за механізмом визначення СОР для орієнтованої деталі з різною кількістю стійких відмінних положень (КСВП) [4]. Це не дозволяє розробити досить компактний і лаконічний алгоритм визначення складу орієнтуючих рухів.

Аналіз симетричності деталей дозволяє зробити висновок про те, що всі вони, залежно від кількості паяльників у них площин і осей симетрії, можуть бути розділені на 5 груп [1, 3, 6]:

- 1) група 1: КСВП = 24;
- 2) група 2: КСВП = 12;
- 3) група 3: КСВП = 6;
- 4) група 4: КСВП = 3;
- 5) група 5: КСВП = 1.

Усі ці деталі при моделюванні процесів орієнтування можуть бути замінені просторовою моделлю типу «Куб» [1–4, 6]. Залежно від КСВП грані цієї моделі мають відповідні мітки [2, 4]. У табл. 1 наведені моделі типу «Куб» для деталей з різним значенням КСВП.

Однією з особливостей процесу орієнтування деталей за допомогою промислових роботів є така кінематична характеристика, як склад маніпуляційних рухів. Тому як смислові одиниці термінів опису ПОП і КОП орієнтованих деталей доцільно використовувати оператори координатних напрямів (ОКН), які є ідентифікаторами одиничних векторів елементарних переміщень, реалізованих захопленням робота вздовж чи навколо координатних осей [2]. При цьому ОКН надають узагальнену характеристику процесу орієнтування на рівні кінематики.

Для опису початкового і кінцевого орієнтованих положень деталей пропонується використовувати трисимвольну алфавітну конструкцію, у якій кожний з трьох елементів визначає відносне положення осей власної системи координат XYZ орієнтованої деталі (ОД) відносно абсолютної системи координат $X^A Y^A Z^A$ (рис. 1).

Пропонуються такі правила опису ПОП і КОП:

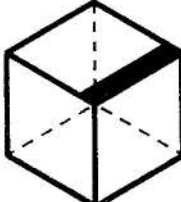
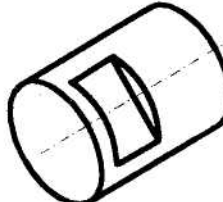
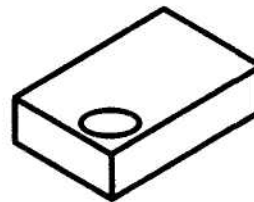
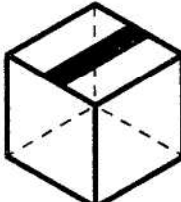
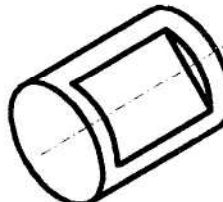
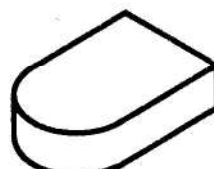
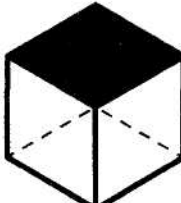
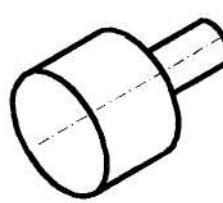
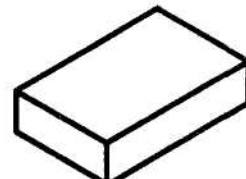
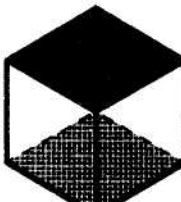
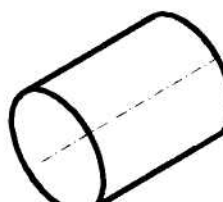
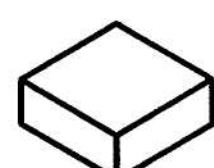
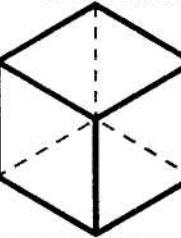
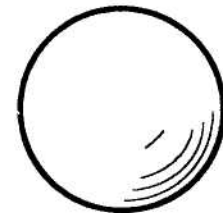
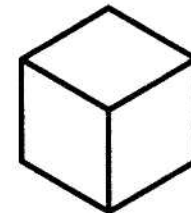
- 1) алфавітною одиницею описання ПОП і КОП буде один із семи елементів: X, Y, Z, x, y, z, « » (пропуск);
- 2) кожна позиція трисимвольної алфавітної конструкції знаходиться в точній відповідності до однієї з осей абсолютної системи координат (наприклад, першої позиції опису ПОП і КОП стає у відповідність вісь X, до другої позиції – вісь Y, до третьої позиції – вісь Z);
- 3) для описання ПОП і КОП у кожній з трьох позицій записується найменування тієї осі власної системи координат XYZ ОД, що колінеарна відповідній даній позиції осі абсолютної системи координат $X^A Y^A Z^A$;
- 4) при збігання позитивного напрямку осі власної системи координат XYZ з позитивним напрямком осі абсолютної системи координат $X^A Y^A Z^A$ у відповідній позиції проставляється один із трьох символів: X, Y, Z (прописані символи);

5) при збіганні негативного напрямку осі власної системи координат XYZ з додатним напрямком осі абсолютної системи координат X^AY^AZ^A у відповідній позиції проставляється один із трьох символів: x, y, z (рядкові символи);

6) у випадку «байдужого» напрямку координатних осей, обумовленого властивостями симетричності конструкції ОД, жоден із шести елементів X, Y, Z, x, y, z не проставляється – у відповідній позиції трисимвольної алфавітної конструкції проставляється пропуск.

Таблиця 1

Моделі типу «Куб» для деталей з різним значенням КСВII

| КСВ II | Модель типу «Куб» | Типові деталі | |
|--------|---|---|---|
| | | Тіло обертання | Призматична деталь |
| 24 |  |  |  |
| 12 |  |  |  |
| 6 |  |  |  |
| 3 |  |  |  |
| 1 |  |  |  |

На рис. 2–5 наведені всі можливі положення моделі типу «Куб» для деталей з різним значенням КСВП та відповідні описи цих положень.

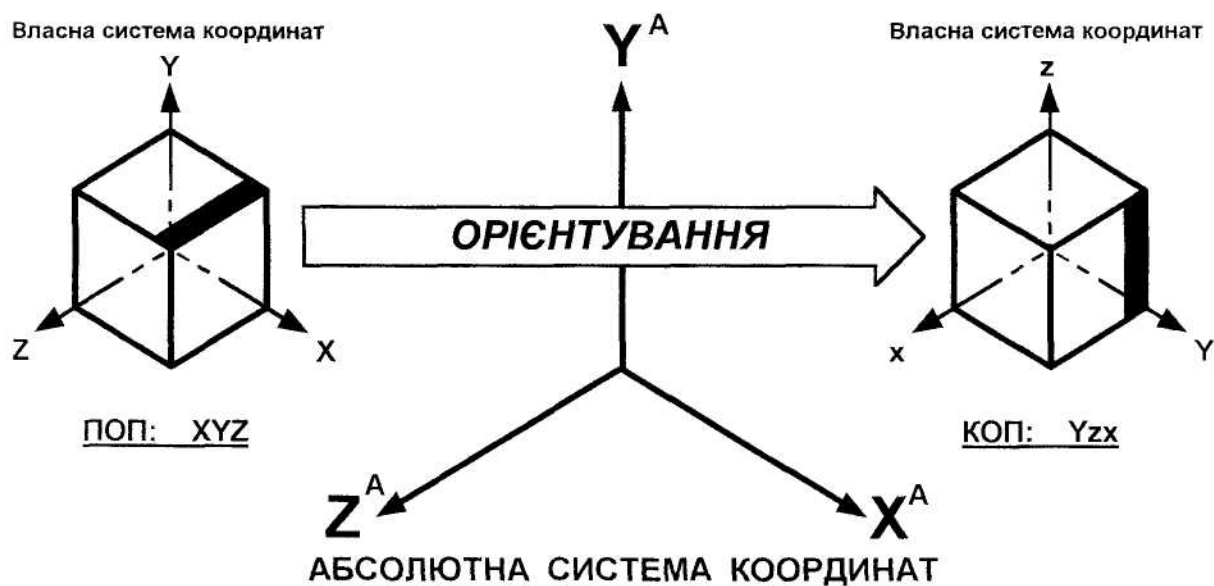


Рис. 1. Приклад опису ПОП і КОП ОД

Взаємозв'язок між різними стійкими відмінними положеннями для деталей з різним значенням КСВП можна представити у вигляді графових моделей, що наведені на рис. 6–9.

Аналіз цих графових моделей дозволяє зробити такі висновки:

- 1) які б не були початкове і кінцеве орієнтовані положення деталі, оптимальний шлях орієнтування буде складатися з поворотів навколо не більш, ніж двох осей;
- 2) які б не були початкове і кінцеве орієнтовані положення деталі, оптимальний шлях орієнтування буде складатися не більш, ніж із трьох кроків.

Однак для визначення складу орієнтуючих рухів для деталей з різними значеннями КСВП ці графові моделі є майже некорисними через відсутність у них універсальності, велику складність (для деталей з КСВП = 24 і КСВП = 12) і, як наслідок, – поганої формалізації.

Усе це говорить про те, що необхідний інший шлях розв'язання задачі знаходження універсального алгоритму визначення складу орієнтуючих рухів для деталей з різними значеннями КСВП.

На підставі аналізу рис. 2–5 можна помітити таку закономірність: незалежно від значення КСВП, склад орієнтуючих рухів можна визначити, скориставшись таким виразом:

$$COP = ((\overset{\circ}{O}_1 \setminus \overset{\circ}{O}_1) \wedge (\overset{\circ}{O}_2 \vee \overset{\circ}{O}_3) \setminus \overset{\circ}{O}_2) \vee ((\overset{\circ}{O}_2 \wedge \overset{\circ}{O}_3) \setminus \overset{\circ}{O}_3),$$

де $\overset{\circ}{O}$ – обертальний ОКН, що позначає обертання орієнтованої деталі навколо осі O ($O \in \{X, Y, Z\}$);

1, 2, 3 – порядкові номери осі O ($O_1 \in \{X, Y, Z\}$, $O_2 \in \{X, Y, Z\}$, $O_3 \in \{X, Y, Z\}$), $O_1 \neq O_2 \neq O_3$;

\setminus – символ операції віднімання множин;

$\overset{\circ}{O}$ – «коригувальний» ОКН, що може приймати два значення: \emptyset , або вирази, які знаходяться у наведеному вище виразі для визначення COP після символу " \setminus ".

З рис. 2–5 видно, що кількість збігів позицій у трисимвольних алфавітних конструкціях опису ПОП і КОП може приймати одне з чотирьох значень: 0, 1, 2 і 3.

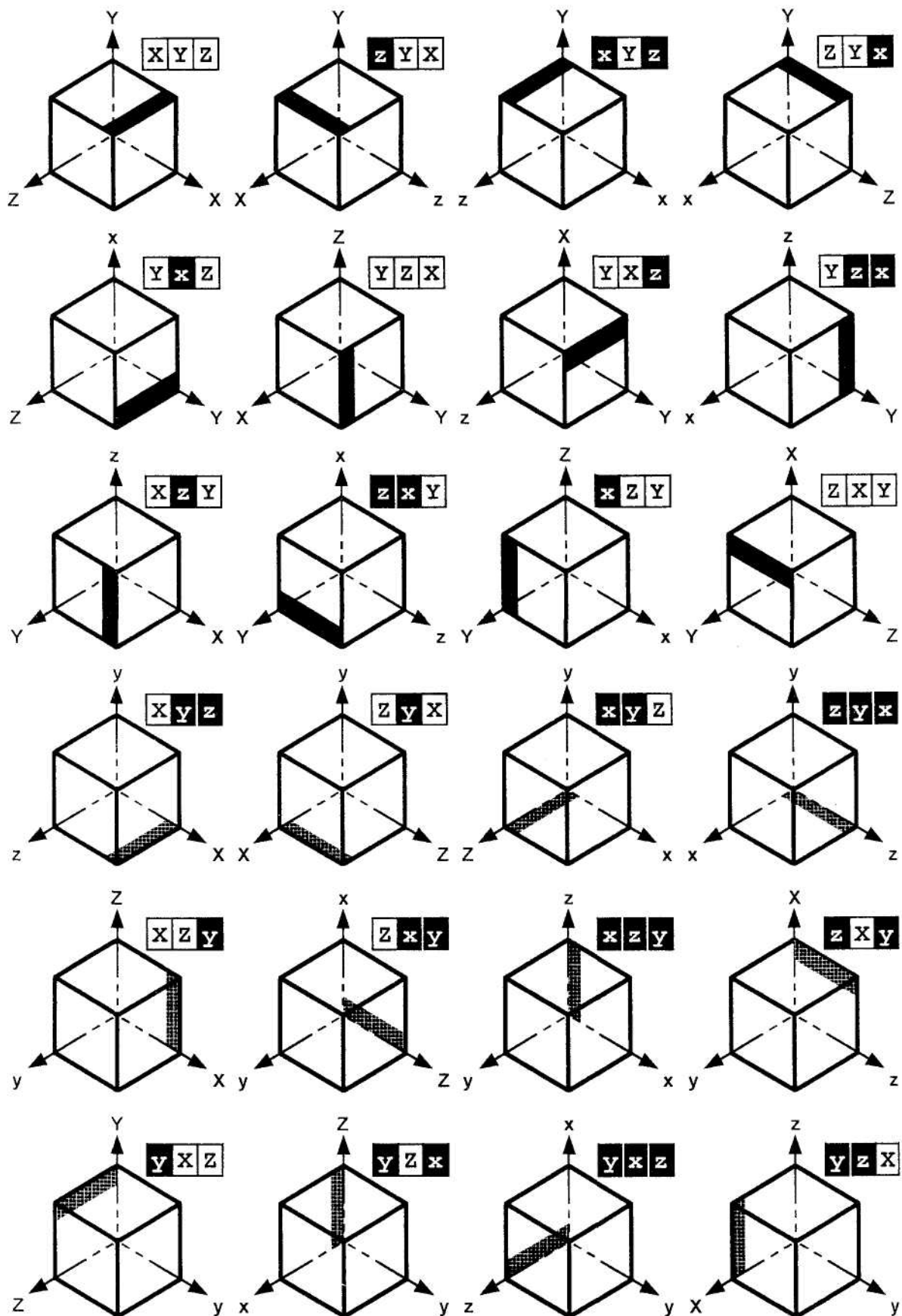


Рис. 2. Можливі положення моделі типу «Куб» і описання цих положень для деталей з КСВП = 24

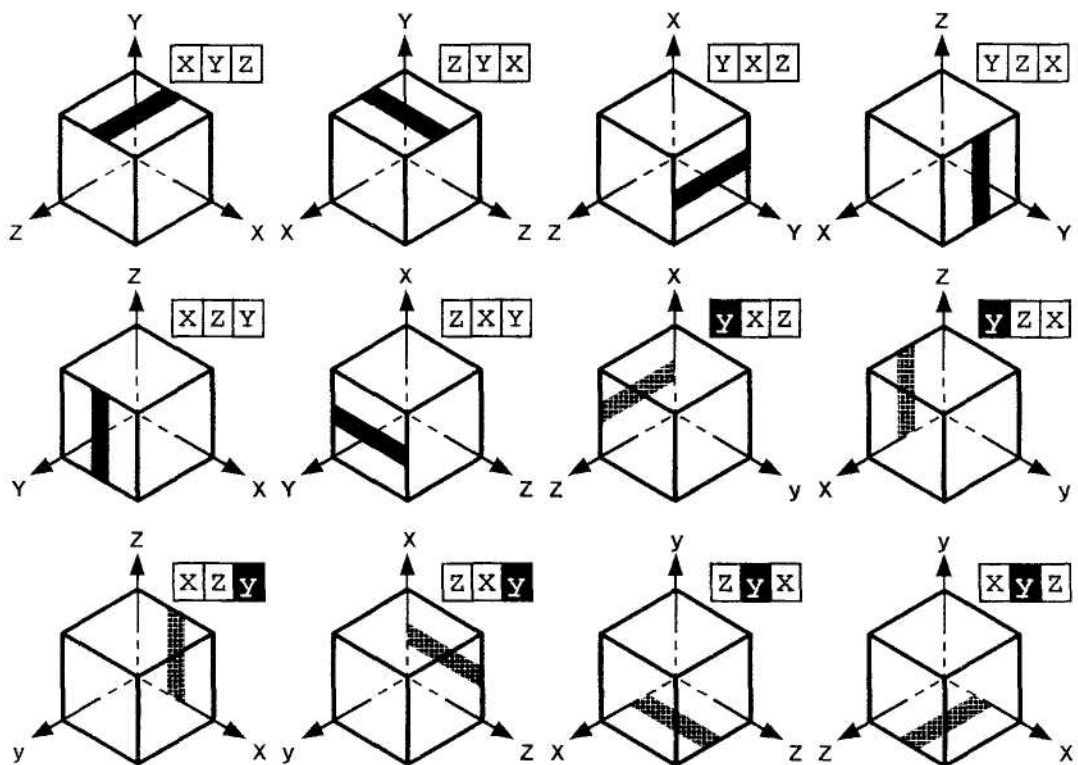


Рис. 3. Можливі положення моделі типу «Куб» і описання цих положень для деталей з КСВП = 12

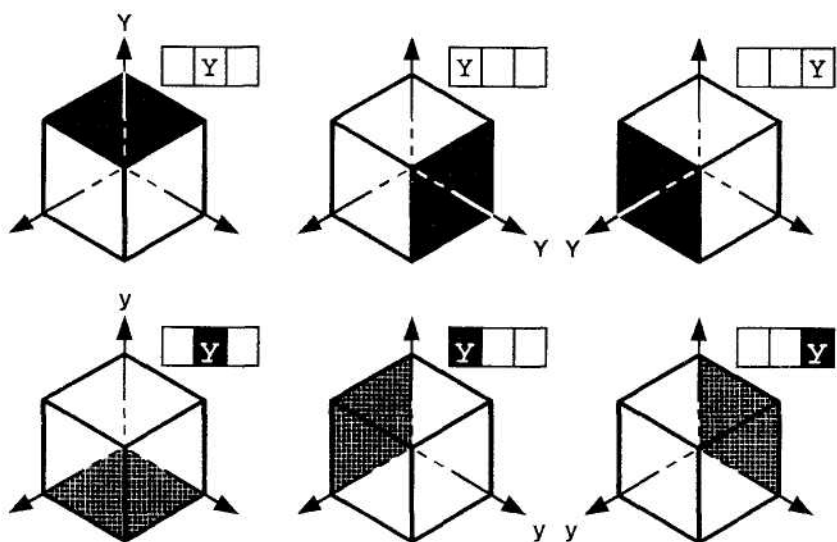


Рис. 4. Можливі положення моделі типу «Куб» і описання цих положень для деталей з КСВП = 6

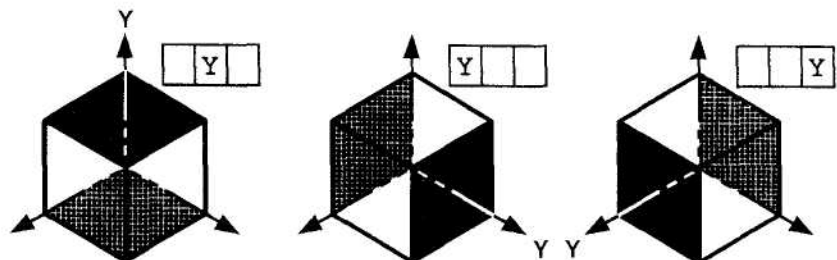


Рис. 5. Можливі положення моделі типу «Куб» і описання цих положень для деталей з КСВП = 3

В залежності від цих значень $\overset{\circ}{O_1}$, $\overset{\circ}{O_2}$ і $\overset{\circ}{O_3}$ можуть приймати значення, які наведені в табл. 2.

Таблиця 2

Значення $\overset{\circ}{O_1}$, $\overset{\circ}{O_2}$, $\overset{\circ}{O_3}$ і склади орієнтуючих рухів

| Кількість збігів позицій ОПП і ОКП | $\overset{\circ}{O_1}$ | $\overset{\circ}{O_2}$ | $\overset{\circ}{O_3}$ | Склад орієнтуючих рухів |
|------------------------------------|------------------------|--|--|--|
| 0 | \emptyset | \emptyset | \emptyset | $(\overset{\circ}{O_1} \wedge (\overset{\circ}{O_2} \vee \overset{\circ}{O_3})) \vee (\overset{\circ}{O_2} \wedge \overset{\circ}{O_3})$ |
| 1 | \emptyset | $\overset{\circ}{O_2} \vee \overset{\circ}{O_3}$ | $\overset{\circ}{O_2} \wedge \overset{\circ}{O_3}$ | $\overset{\circ}{O_1}$ |
| 2 | $\overset{\circ}{O_1}$ | \emptyset | $\overset{\circ}{O_2} \vee \overset{\circ}{O_3}$ | $\overset{\circ}{O_2} \vee \overset{\circ}{O_3}$ |
| 3 | $\overset{\circ}{O_1}$ | $\overset{\circ}{O_2} \vee \overset{\circ}{O_3}$ | $\overset{\circ}{O_2} \wedge \overset{\circ}{O_3}$ | \emptyset |

Під значеннями $\overset{\circ}{O_1}$, $\overset{\circ}{O_2}$, $\overset{\circ}{O_3}$ маються на увазі конкретні обертальні ОКН, що визначаються в такий спосіб:

1) при кількості збігів позицій у трисимвольних алфавітних конструкціях опису ПОП і КОП, яка дорівнює 1, оператору $\overset{\circ}{O_1}$ привласнюються найменування обертального ОКП навколо тієї осі абсолютної системи координат, що поставлена у відповідність до «збереженої» позиції, операторам $\overset{\circ}{O_2}$ і $\overset{\circ}{O_3}$ привласнюються найменування двох інших осей;

2) при кількості збігів позицій у трисимвольних алфавітних конструкціях опису ПОП і КОП, яка дорівнює 2, $\overset{\circ}{O_2}$ операторам $\overset{\circ}{O_3}$ і привласнюються найменування обертальних ОКН навколо тих двох осей абсолютної системи координат, що поставлені у відповідність «збереженим» позиціям.

У табл. 3 представлені приклади визначення складів орієнтуючих рухів. У табл. 3 використовуються такі позначення: $A = \overset{\circ}{X}$, $B = \overset{\circ}{Y}$, $C = \overset{\circ}{Z}$.

Запропоновані спосіб визначення складу орієнтуючих рухів і методика опису різних положень орієнтованих деталей може бути використана при проектуванні роботизованих технологічних процесів, зокрема при виборі допоміжного технологічного устаткування ГВС металообробки і складання.

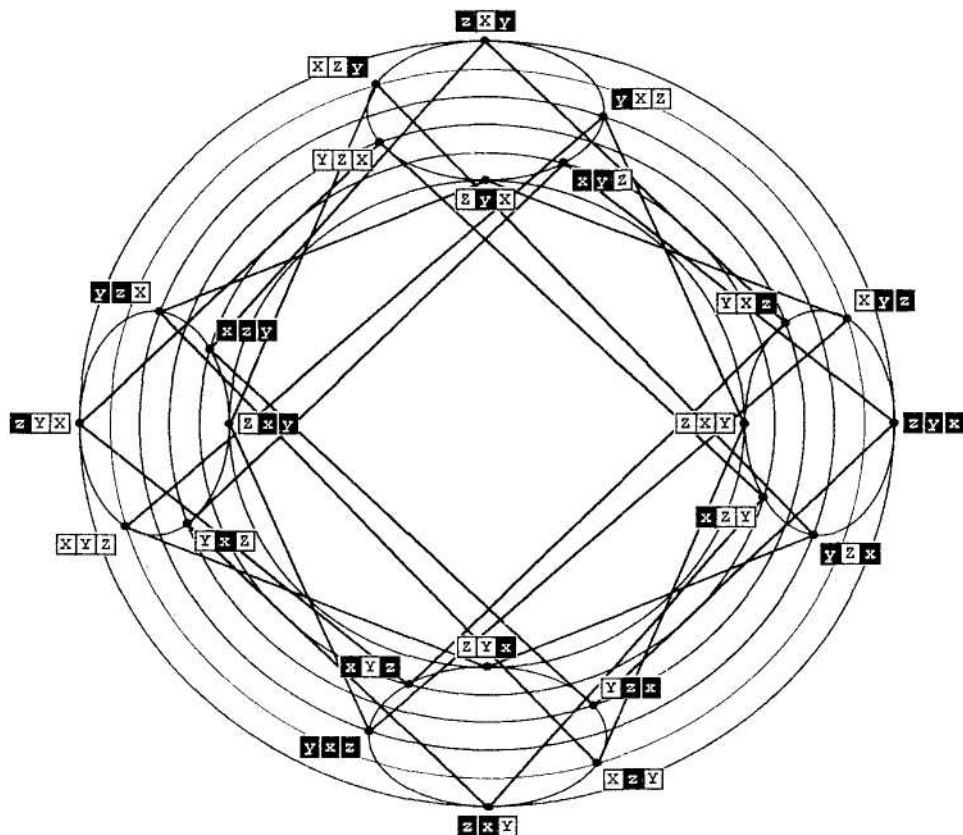


Рис. 6. Графова модель взаємозв'язку між різними стійкими відмінними положеннями для деталей з КCSVН = 24

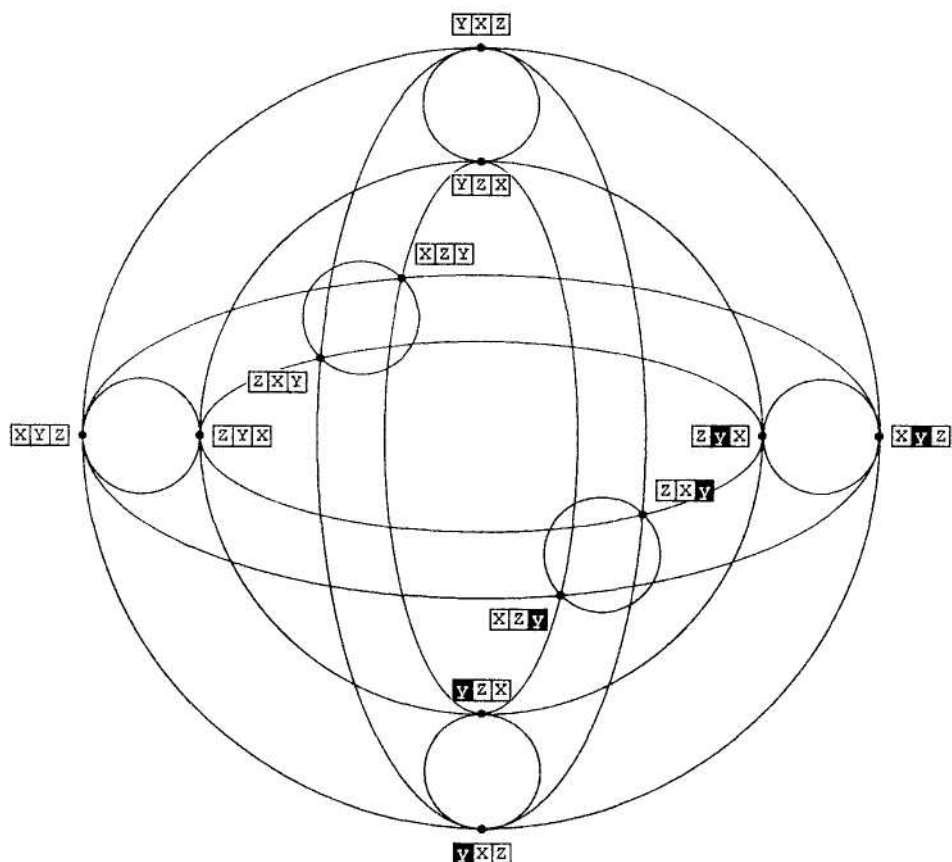


Рис. 7. Графова модель взаємозв'язку між різними стійкими відмінними положеннями для деталей з КCSVН = 12

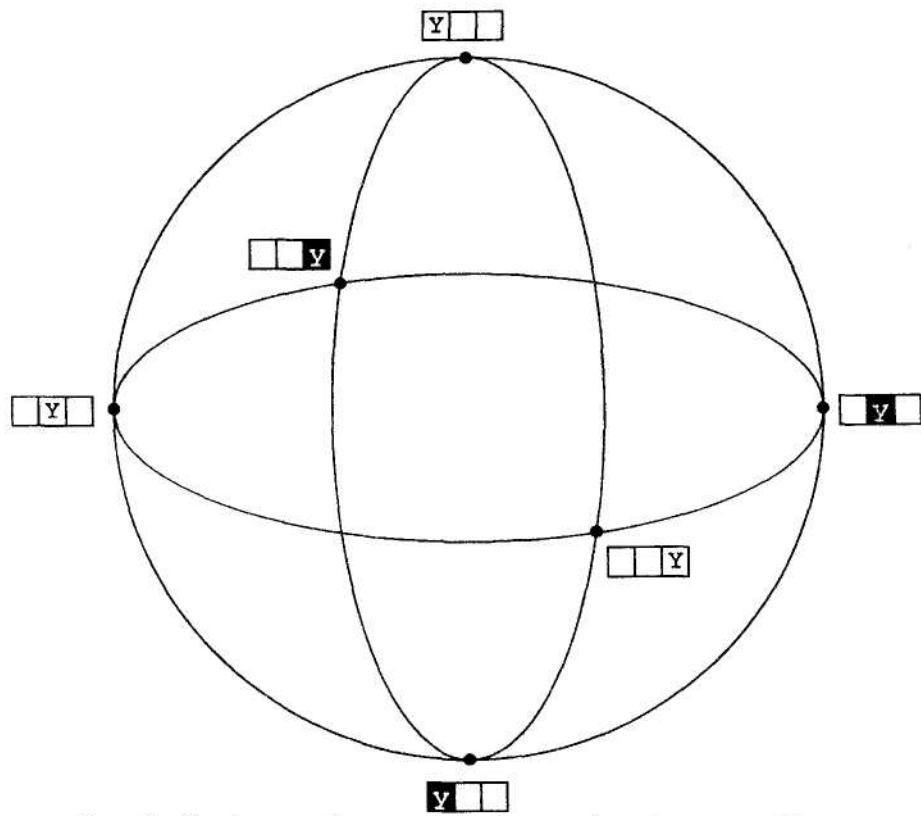


Рис. 8. Графова модель взаємозв'язку між різними стійкими відмінними положеннями для деталей з КCSVП = 6

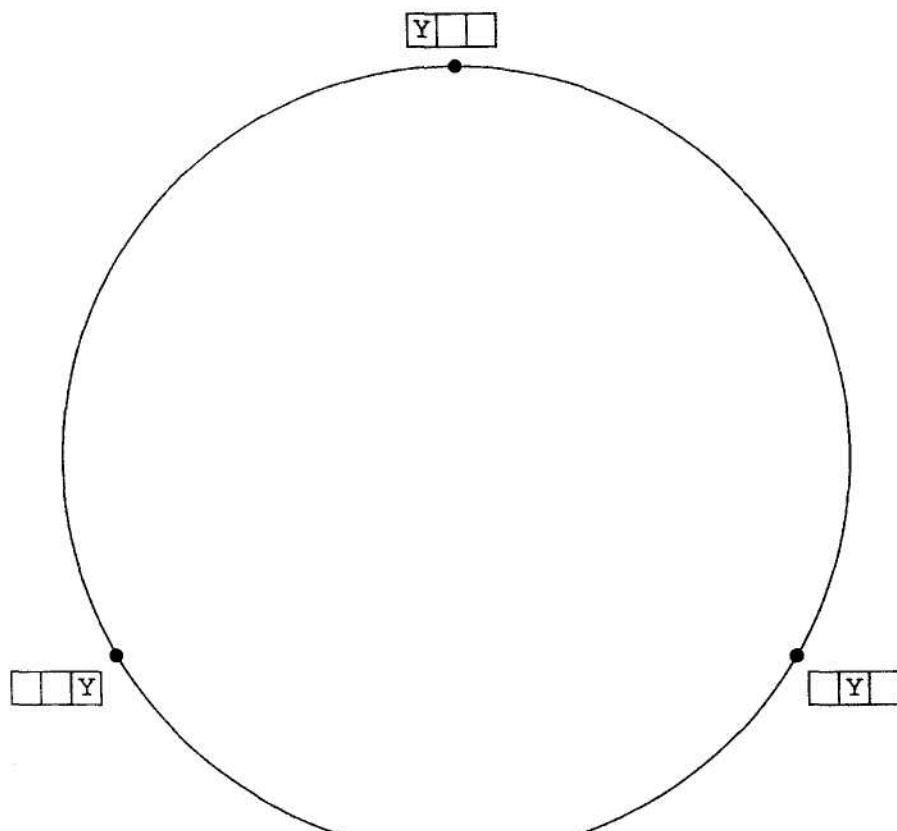


Рис. 9. Графова модель взаємозв'язку між різними стійкими відмінними положеннями для деталей з КCSVП = 3

Таблиця 3

Приклади визначення складів орієнтуючих рухів

| KCBП | ОНП | ОКП | COP |
|------|-----|-----|---|
| 24 | | | $(A \wedge (B \vee C)) \vee (B \vee C)$ |
| 24 | | | C |
| 12 | | | $(A \wedge (B \vee C)) \vee (B \vee C)$ |
| 12 | | | A \vee C |
| 6 | | | A \vee C |
| 3 | | | B |

ЛІТЕРАТУРА:

1. Автоматизированные системы технологической подготовки робототехнического производства / Л.С. Ямпольский, О.М. Калин, М.М. Ткач. – К.: Выща школа, 1987. – 271 с.
2. Автоматизированный выбор роботов по кинематическим требованиям сборочной технологий / В.Н. Давыгоро, В.А. Кирилович. – К.: Общество «Знание» Украины, 1991. – 24 с.
3. Гавриш А.П., Ямпольский Л.С. Гибкие производственные системы: Учебник. – К.: Выща школа, 1989. – 407 с.
4. Кирилович В.А., Лапковський С.В. Определение состава ориентирующих движений при автоматизированном проектировании роботизированных технологических процессов сборки // Праці Житомирського філіалу КПІ. Серія А / Техніка. – Вип. 1. – Житомир: ЖФ КПІ. – 1993. – С. 156–160.
5. Колодницький Н.М., Кирилович В.А., Давыгоро В.И. Представление конечным автоматом процесса ориентирования деталей при роботизированной сборке // Автоматизация сборочных процессов. – Рига: РГУ, 1990. – Вип. 17. – С. 72–80.
6. Шабайкович В.А. Ориентирующие устройства с программным управлением: Технологические основы проектирования. – К.: Техніка, 1981. – 183 с.
7. Ярмош А.Г. Моделирование и оптимизация последовательности роботизированной сборки: Автореф. дис. канд. техн. наук. – К.: КПІ, 1987. – 16 с.

СТЄНИН Олександр Африканович – доктор технічних наук, професор кафедри технічної кібернетики Національного технічного університету України “КПІ”.

Наукові інтереси:

- математичне моделювання;
- гнучкі виробничі системи.

ЛАПКОВСЬКИЙ С.В. – кандидат технічних наук, доцент Національного технічного університету України “КПІ”.

Наукові інтереси:

- математичне моделювання;
- гнучкі виробничі системи.

СТЄНИНА М.О. – студентка Національного технічного університету України “КПІ”.

Наукові інтереси:

- математичне моделювання;
- гнучкі виробничі системи.

Подано 3.01.2003